黄土丘陵区油松人工林植物器官一凋落物一土壤 化学计量特征的季节变化

王亚娟1,陈云明1,2,孙亚荣1,赵敏1,薛文艳1,刘乐2

(1.西北农林科技大学水土保持研究所,黄土高原土壤侵蚀与旱地农业国家重点实验室, 陕西 杨陵 712100;2.中国科学院水利部水土保持研究所,陕西 杨陵 712100)

摘要:为了解黄土丘陵区油松人工林植物器官—凋落物—土壤的化学计量特征随季节的变化规律,通过时空替代法、野外调查取样与室内试验的手段,以陕西省延安市安塞区纸坊沟流域中林龄油松($Pinus\ tabuliformis$)人工林为对象,分析了 4—10 月油松不同器官—凋落物—土壤的碳(C)、氮(N)、磷(P)生态化学计量学特征。结果表明:(1)从 4—10 月,叶片 C、P 含量逐渐上升,在 10 月最高,叶片的 N 含量和 N: P 及枝的 N、P 含量均先减小后增大,且均在 8 月最低,而枝的 C: N 及 C: P 和细根的 C: P、N: P 均先增大后减小,且均在 8 月最高。 土壤 C、N 含量、C: P、N: P 先增大后减小,在 8 月最高。 凋落物 N 含量、C: P 和 N: P 均呈先降后升的趋势,在 6 月最低,P 含量变化不显著;(2)除叶片 4—6 月、细根 4—8 月 N: P > 14 外,其他各器官 4—10 月均 N: P < 14,该区域油松生长主要受 N 限制;(3)叶片与凋落物的 C、N 含量及 C: N 之间均呈显著正相关,C: N 、C: P 与 N: P 之间均呈显著正相关(p < 0.05)。 叶片 N: P 与土壤 P 含量呈显著正相关(p < 0.05)。 研究结果使人工林生态化学计量学的研究更加系统性,为黄土丘陵区植被良好生长提供参考依据。

DOI: 10.13870/j.cnki.stbcxb.2022.04.043

Seasonal Variation of Plant Organ—Litter—Soil Stoichiometry in Pinus Tabulae formis Plantation in Loess Hilly Region

WANG Yajuan¹, CHEN Yunming^{1,2}, SUN Yarong¹, ZHAO Min¹, XUE Wenyan¹, LIU Le²

(1.State Key Laboratory of Soil Erosion and Dryland Farming on the Loess Plateau,
Institute of Soil and Water Conservation, Northwest A&F University, Yangling, Shaanxi 712100;
2.Institute of Soil and Water Conservation, CAS&MWR, Yangling, Shaanxi 712100)

Abstract: To understand the seasonal variation of plant organs—litter—soil stoichiometry in *Pinus tabulae-formis* plantation in Loess Hilly region, the field investigation and laboratory experiments were used by means of spatio-temporal substitution method in Zhifanggou Watershed, Ansai District, Yan'an City, Shaanxi Province, China. The ecological stoichiometry characteristics of carbon (C), nitrogen (N) and phosphorus (P) in different organs-litter-soil of *Pinus tabulaeformis* from April to October were analyzed. The results showed that: (1) From April to October, the contents of C and P in leaves increased gradually, and reached the highest in October. The contents of N and N: P in leaves and branches decreased first and then increased, and reached the lowest in August. While the contents of C: N and C: P in branches and C: P and N: P in fine roots increased first and then decreased, and reached the highest in August. Soil C and N contents, C: P and N: P increased first and then decreased, and reached the highest value in August. Litter N content, C: P and N: P all showed a trend of decreasing first and then increasing, and reached the lowest in June, while P content had no significant change. (2) Except for N: P>14 in leaves from April to June and fine roots from April to August, N: P<14 in other organs from April to October, the growth of *Pinus*

收稿日期:2021-11-16

资助项目:国家自然科学基金项目"抚育间伐调控黄土丘陵区刺槐人工林水分养分机理研究"(41771556)

第一作者:王亚娟(1995—),女,汉族,甘肃会宁人,硕士研究生,主要从事流域管理研究。E-mail: 3259225914@qq.com

通信作者:陈云明(1967—),男,汉族,博士,陕西渭南人,研究员,博士生导师,主要从事植被生态与水土保持研究。E-mail: ymchen@ms.

tabulaeflorus in this region was mainly restricted by N. (3) There were significant positive correlations between C and N contents and C: N of leaf and litter, and there were significant positive correlations between C: N, C: P and N: P (p < 0.05). There was a significant negative correlation between leaf N: P and soil C: N (p < 0.01), but no significant correlation between other stoichiometric characteristics. There was a significant positive correlation between litter C content and soil P content (p < 0.05). The results make the study of ecological stoichiometry of plantation more systematic and provide reference for vegetation growth in loess hilly region.

Keywords: ecological stoichiometry; *Pinus tabulaeformis* plantation; plant organs-litter-soil; seasonal variation; loess hilly region

生态化学计量学已成为生物学研究中连接不同 层次和尺度的重要科学理论,反映多种化学元素与能 量之间的动态平衡和相互作用,能够揭示生态系统中 营养元素获得及限制状况^[1]。它强调生态过程中化 学元素之间的比例关系,特别是碳、氮、磷之间的比例 关系^[2-3]。C、N、P元素在植物中是强耦合的,了解它 们的化学计量特征对探索植物生长、凋落物分解、生 物地球化学循环具有重要作用^[4]。

有研究[5]发现,植物体内营养元素浓度和元素化 学计量学特征不仅受环境条件(温度、海拔和干旱)、 植物年龄的影响,而且生长季节(采样时间)也是影响 生态化学计量的因子。通常在植物的生长周期内,植 物不同器官的大小并非固定不变,植物器官大小的改 变势必引起其不同器官组织中各种营养元素浓度和 元素化学计量比率的改变。因此,植物体内 C、N、P 元素浓度和C:N、C:P、N:P化学计量比率也因植 物不同生长阶段所具有的生理特征的不同而变得更 加复杂。人工林生态系统的物质循环和能量流动经 历明显的时空变化,增加植物、凋落物和土壤之间养 分关系的复杂性[6]。同时,关于人工林生态系统化学 计量学的时变机制研究较少[7],植物通过调节自身的 营养特性和生理活动,与外界环境保持相对平衡,它 们的新陈代谢随生长季节的变化而变化,生长季节不 仅影响植物体的化学计量特征,甚至影响生态系统的 化学计量特征。赵亚芳等[8]研究发现,秦岭 20 年生 华北落叶松人工林针叶 N 含量 5 月是 10 月的 4 倍; 封焕英等[9]研究发现,生长季节对华北石质山地侧柏 人工林叶片和枝的 N 和 P 含量存在显著影响。因 此,仅仅分析人工林生态系统某一生长阶段的化学计 量特征,可能会放大或削弱对其养分平衡机制的理 解[10]。由此可见,探究油松人工林植物器官—凋落 物一土壤的生态化学计量特征的季节变化规律,对明 确植物器官、凋落物与土壤之间养分供应、分配规律 以及协同变化关系具有重要作用。

黄土丘陵区土壤侵蚀严重,生态环境脆弱。油松(Pinus tabuliformis)作为主要的水土保持树种,种

植面积广泛,可以有效防治水土流失,发挥着重要的 生态功能[11]。20 世纪 90 年代以来在该地区得到广 泛的种植。尽管截至目前,众多学者基于不同林龄、 不同植被带、不同树种、不同管理措施等方面探究了 油松人工林植物器官、凋落物及土壤生态化学计量特 征,但这些研究主要集中在生长旺盛期进行采样,而 忽视了其他季节油松人工林植物器官、凋落物及土壤 的生态化学计量特征,并且较少涉及将油松人工林生 态系统 3 个组分耦合为"植物器官—凋落物—土壤" 作为连续体综合研究各组分之间的 C、N、P 化学计量 特征随季节变化的差异[12-15]。因此,本研究以陕西省 延安市安塞区纸坊沟流域中林龄油松人工林为对象, 分析油松人工林不同器官、凋落物、土壤的化学计量 特征的季节变化规律以及油松叶片、凋落物和土壤之 间 C、N、P 含量、C:N、C:P、N:P 的相关性,以期 丰富人工林生态系统生态化学计量学的研究,为黄土 丘陵区植被良好生长提供参考依据。

1 材料与方法

1.1 研究区概况

研究区位于陕西省延安市安塞区纸坊沟流域 $(36^\circ 46'25''-36^\circ 46'40''N,109^\circ 13'03''-109^\circ 16'41''E)$,属于半干旱季风气候,平均海拔 1 200 m,年平均降水量 510 mm,且年内分配不均,超过 1/2 的降水发生在夏季,年平均气温为 8.8 \mathbb{C} ,年日照时间 2 300~ 2 400 h。该区土壤类型以黄绵土为主,易受侵蚀,植被在夏季覆盖度较高,以人工林和草地为主,主要物种为油松 (Pinus tabulaeformis)、刺槐 (Robinia pseudoacacia)、狗尾草 (Setaria viridis)、铁杆蒿 (Artemisia sacrorum)、甘草 (Glycyrrhiza uralensis)等,主要农作物为玉米、谷子、马铃薯等。

1.2 样地布设

于 2019 年 3 月中旬利用"空间代替时间"的方法,在研究区设置 3 个中林龄油松人工林样地(20 m×20 m),尽量选取干扰程度较小、立地条件一致的样地。在每个样地内,对油松进行每木检尺,选取 3 株标准木,并且记录树高、林分密度、树冠大小等数据。用手持

GPS、坡度仪、罗盘仪测定海拔、坡度等地形因子。样地基本信息见表 1。

表 1 样地基本情况

样地	坡度/	坡向/	坡位	海拔/	树高/	胸径/	林分密度/
	(°)	(°)		m	m	cm	(株・hm ⁻²)
1	31	NW40	上坡	1131	8.03	10.25	1175
2	29	N W 34	上坡	1126	8.54	13.66	1100
3	30	NE35	上坡	1136	8.59	12.83	1100

1.3 样品采集与处理

于 2019 年 4,6,8,10 月底,在各样地对先前选取的 3 株标准木用高枝剪在树冠高、中、低 3 层采集东、南、西、北 4 个方位枝条,每株采集 12 个健康枝,3 株共采集 36 个,并收获枝条当年生叶片,用根钻法距标准木根际约 50 cm 处取 0—20 cm 土层细根。将获取的叶片、枝、细根等同器官混合成 1 份样品,每份约350 g;在各样地,按对角线布设 3 个小样方(1 m×1 m),收集地表凋落物,并用土钻法钻取 1 个0—20 cm 的土芯,将样品混匀装入牛皮纸袋带回实验室。每个样品 3 次重复。因此,共获得叶片、枝、细根、凋落物和土壤样品各 12 份。

将采集的植物样品放入烘箱内进行 105 ℃下杀青 0.5 h后,将温度调至 65 ℃烘至恒定重量,然后用粉碎机粉碎,过 100 目筛;土壤样品除去石粒等杂物,自然风干之后磨碎,过 100 目筛。所有样品用于测定碳(C)、全(N)、磷含量(P)。植物器官、凋落物和土壤样品采用外加热一重铬酸钾氧化法测定碳含量、凯氏定氮法测定氮含量、 $HClO_4$ $-H_2$ SO_4 消煮一钼锑抗比色分光光度计法测定磷含量[16]。

1.4 数据分析与处理

数据经过 Excel 2019 整理后,采用 SPSS.25 软件进行统计学分析。采用 K—S 检验进行正态分布检验;采用单因素方差分析(One-way ANOVA)和多重比较的方法(LSD, p<0.05)分析不同季节油松器官、凋落物和土壤的 C、N、P含量及 C:N、C:P、N:P的差异;采用 Pearson 相关法定量分析油松器官、凋落物和土壤 C、N、P含量及 C:N、C:P、N:P间的相关性,采用 Origin 2018 软件制图。

2 结果与分析

2.1 油松不同器官 C、N、P 含量及其化学计量比的 季节变化

由图 1 可见,从 4—10 月,油松叶片有机碳含量逐渐升高,10 月和 8 月显著高于 4 月和 6 月,枝有机碳含量在 6 月最低,细根有机碳含量在 10 月最高,6 月最低(p<0.05)。叶片 N 含量呈先升后降再升的趋势,而枝 N 含量呈先降后升的趋势,细根 N 含量呈下降趋势,叶片和枝的 N 含量在 10 月均显著高于 4

月和 6月,而细根 N 含量 10 月显著低于 4月和 6月 (p < 0.05)。叶片 P 含量呈上升趋势,10 月叶片 P 含量显著高于 4月和 6月,而枝及细根 P 含量均呈先降后升的趋势,且 8月枝和细根的 P 含量显著低于 4月和 6月(p < 0.05)。

从 4—10 月,叶片 C: N在 8 月显著高于 6 月和 10 月,枝和细根 C: N在 8 月显著高于 4 月和 6 月 (p<0.05)。叶片 C: P无显著性变化,枝 C: P在 8 月和 10 月显著高于 4 月和 6 月,细根 C: P在 6 月和 10 月显著高于 4 月,8 月最高(p<0.05)。叶片 N: P在 8 月显著低于其他月份,而枝 N: P在 10 月显著高于其他月份,细根 N: P在 4,6 月无显著变化,而 8 月显著高于 10 月(p<0.05)。

2.2 凋落物和土壤 C、N、P 含量及其化学计量比的 季节变化

由图 2 可见,从 4—10 月,凋落物有机碳含量逐渐上升,8 月和 10 月显著高于 4 月和 6 月,N 含量 4 月和 10 月显著高于 6 月和 8 月(p<0.05),P含量无显著性变化。凋落物 C:N 呈先升后降的趋势,在 8 月达到最高,8 月 C:P 显著高于 6 月(p<0.05),N:P 在 6 月最低,其他月份无显著性变化。

从 4-10 月,土壤有机碳含量、N 含量 8 月显著高于其他月份,4 月 P 含量显著高于 10 月(p<0.05)。土壤 C: N 在 6 月显著高于其他月份,C: P、N: P 均在 8 月显著高于其他月份。

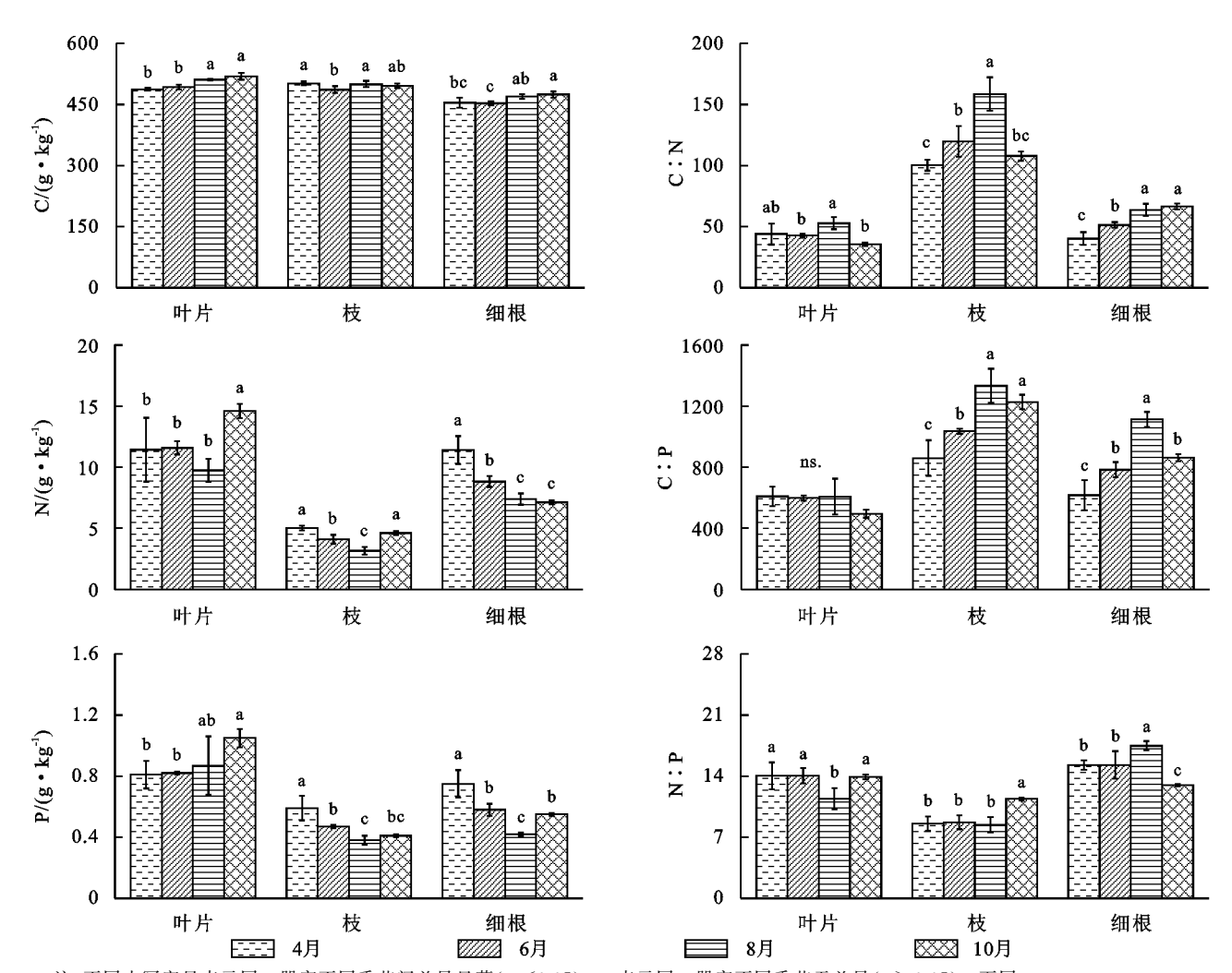
2.3 油松叶片、凋落物和土壤 C、N、P 含量及其化学 计量比的相关性分析

由表 2 可知,叶片 C,P 含量呈显著正相关(p < 0.05),叶片 N,P 含量呈极显著正相关(p < 0.01);凋落物 C,P 含量呈极显著负相关(p < 0.01);土壤 C,N 含量呈极显著正相关(p < 0.01)。

叶片 C,N 与凋落物 C,N 含量呈显著正相关(p<0.05),叶片 P 含量与凋落物各元素均不存在显著相关性;叶片与土壤各元素均不存在显著相关性。土壤 C,N 含量与凋落物各元素均不存在显著相关性,土壤 P 含量与凋落物 P 含量均不存在显著相关性;土壤 P 含量与凋落物 P 含量呈显著正相关(P<0.05)。

由表 3 可见,叶片 C: P 与 C: N 呈极显著正相 关(p<0.01),叶片 N: P和 C: N 呈显著负相关(p<0.05);凋落物 C: N 和 C: P 呈极显著正相关(p<0.01),凋落物 C: P 和 N: P 呈极显著正相关(p<0.01);土壤 C: P和 N: P 呈极显著正相关(p<0.01)。

叶片 C: N 与凋落物 C: N 呈显著正相关(p < 0.05),叶片 N: P 与凋落物 C: N, C: P 均呈显著负相关(p < 0.05),叶片 N: P 与土壤 C: N 呈极显著负相关(p < 0.01)。



注:不同小写字母表示同一器官不同季节间差异显著(p<0.05); ns.表示同一器官不同季节无差异(p>0.05)。下同。

图 1 油松人工林各器官不同季节碳、氮、磷含量及其化学计量比

3 讨论

3.1 植物器官 C、N、P 生态化学计量特征的季节变化

本研究中,油松叶片有机碳含量 8 月显著高于 6 月,这与李征等^[17]和牛得草等^[18]的研究相似,主要是因为夏季温度较高,叶片光合作用加强,营养代谢旺盛,导致叶片中糖类等碳水化合物积累。8 月和 10 月叶片有机碳含量变化不显著,可能是由于植物体内P含量的增加使得有机碳含量被限制,以致有机碳含量积累速率并无明显变化^[19]。10 月油松叶片N、P含量最高,可能是因为一年生和成熟的当年生叶片由于多年生叶片的脱落,占据优势地位,提高合成蛋白质的能力^[20],导致N、P含量升高。4—10 月,油松细根N、P含量呈降低趋势,因为新根萌发、生长和地上部分植株快速生长释放出大量养分;细根C、P含量10 月高于 8 月,可能是由于油松 10 月生长速度减缓,根系持续吸收使养分贮存,这与赵亚芳等^[8]的研究结果相似。

植物吸收营养、同化碳的能力可以用 C: N 和 C: P 来反映,一定程度上, C: N 和 C: P 也可反映植物对养

分的利用效率[21],一般认为,C:N和C:P较高,植物 对氮、磷元素的利用效率较高[[22]。本研究中,油松叶片 C:N、C:P呈先升后降趋势,在8月最高,可见8月油 松叶片的养分利用效率最高。植物的养分限制状况 可以用 N:P 来反映[19]。相关研究[23] 显示,植物生 长过程中,N限制占主要地位时,N:P<14;P限制 占主要地位时,N:P>16;当14<N:P<16时,植 物受 N、P 元素共同限制。此研究中,除油松叶片 4-6月,细根4-8月N:P大于14外,其他各器官 4-10 月 N: P 均小于 14,表明该区域油松生长主要 受 N 限制。细根 N:P 呈先升后降趋势,表明随季 节变化,油松人工林生长受 N 限制的情况有所缓解。 油松各器官C:N、C:P、N:P的季节变化趋势与其 N、P含量的季节变化趋势相反,进一步说明 C:N、C:P 和 N: P 受其 N、P 含量的影响比较大, 这与张文彦 等[24]和杨阔等[[25]的研究结果相同。

3.2 凋落物和土壤 C、N、P 生态化学计量特征的季节变化

本研究中,凋落物 C: N 呈先升后降趋势, C: P 呈先降后升再降的趋势,均在 8 月最高。一定程度

上,凋落物 C:N、C:P 决定其分解速率和养分归还速率,较低的 C:N 和 C:P 表明凋落物更易分

解^[26]。这说明与8月相比,其他月份凋落物更易分解,有更多的N素和P素归还到土壤。

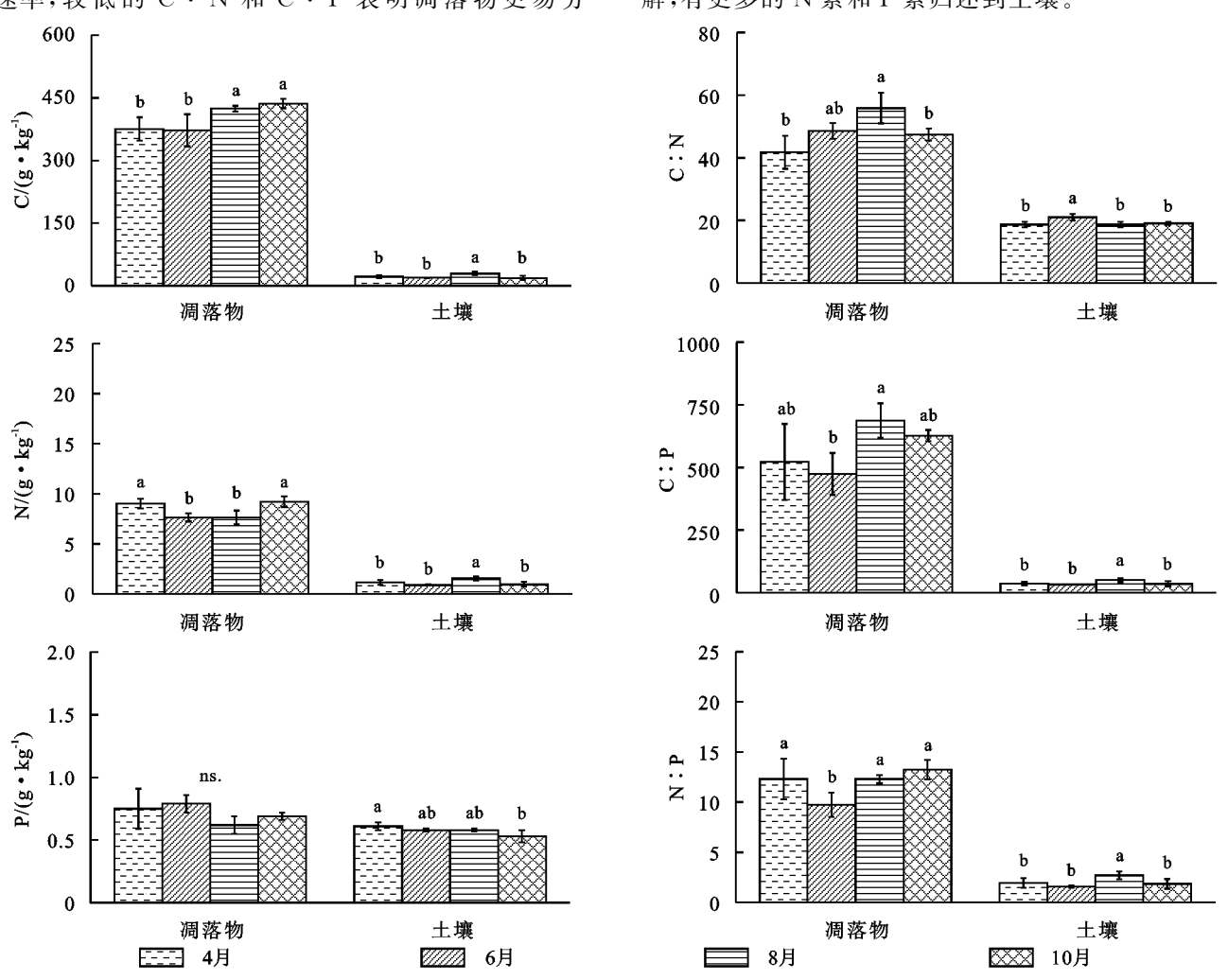


图 2 凋落物和土壤不同季节碳、氮、磷含量及其化学计量比

表 2 油松人工林叶片、凋落物和土壤碳、氮、磷含量的相关性分析

组分	化学	叶片			凋落物			土壤		
	计量	С	N	P	С	N	Р	С	N	P
	С	1								
叶片	N	0.412	1							
	P	0.633 *	0.759 * *	1						
凋落物	C	0.629 *	0.069	0.449	1					
	N	0.048	0.624 *	0.504	0.188	1				
	P	-0.346	0.439	0.110	-0.728 * *	0.242	1			
土壤	C	-0.132	0.114	-0.018	-0.364	-0.476	0.241	1		
	N	-0.122	0.214	-0.007	-0.394	-0.377	0.280	0.980 * *	1	
	P	0.544	-0.012	0.213	0.622 *	-0.159	-0.374	0.084	0.066	1

注:*表示 p<0.05;**表示 p<0.01。下同。

有机质以植物、微生物残体、根系分泌物等形式进入土壤,在一定程度上影响土壤表层碳含量。此研究中,土壤碳含量在4月较低,8月最高,这与白小芳等[27]的研究结果相反,可能是由于树种、研究区不一致所导致的。本研究中土壤N含量在6月相对较低,这是由于随着植物生长进入旺盛期,氮素需求增

加,土壤全氮质量分数减少,后期植物需求减少,氮素 开始累积。土壤 P 主要来源于岩石的风化和淋溶, 且以沉积的形式存在和贮存^[28]。此研究中,4—10 月,土壤表层 P含量变化范围较小(0.53~0.61 g/ kg),显著低于全球陆地平均 P含量(2.8 g/kg)^[29],6 月和 8 月土壤 P 无显著差异,说明土壤对 P 的吸附 作用较强,油松生长未受 P 限制。土壤微生物对 P 元素的作用形式多样,既可以从环境中吸收,也可以通过土壤有机质释放 P 元素,而 C:P 比值可以判断土壤中微生物对 P 元素的吸收和释放能力[30]。本研究中,随季节变化,表层土壤 C:P 先增大后减小,8 月最大(50.27),但仍小于中国陆地土壤 C:P 平均值(61.00)。C:P 较低时,土壤有机质更容易被土壤

微生物矿化,释放更多 P 素,补充土壤有效 P 库。说明本研究区土壤有机物质被土壤微生物矿化,并且释放 P 元素的能力相对较强。作为判断生境中 N 元素或 P 元素不足的依据,在植物生长过程中,土壤 N: P 可判别土壤养分的供给状态。4—10 月,油松人工林土壤 N: P 最大比值为 1.56,最小比值为 2.69,相对稳定,与全国平均水平(5.2)相比,则较小[31]。

表 3 油松人工林叶片、凋落物和土壤 C:	$N \cdot C : P \cdot N : P$ 的相关性分析
-----------------------	------------------------------------

组分	化学计量 一	叶片			凋落物			土壤		
		C : N	C : P	N : P	C : N	C : P	N : P	C: N	C : P	N : P
	C : N	1								
叶片	C : P	0.769 * *	1							
	N : P	-0.663 *	-0.038	1						
凋落物	C : N	0.613 *	0.273	-0.634 *	1					
	C : P	0.456	0.091	-0.606*	0.734 * *	1				
	N : P	0.106	-0.121	-0.317	0.172	0.794 * *	1			
土壤	C : N	0.535	-0.011	-0.805 * *	0.520	0.399	0.094	1		
	C : P	-0.231	-0.035	0.290	-0.060	-0.407	-0.531	-0.342	1	
	N : P	-0.326	-0.048	0.418	-0.148	-0.445	-0.502	-0.514	0.981 * *	1

3.3 植物叶片、凋落物与土壤 C、N、P 生态化学计量 特征的相关性分析

本研究中,由表 2、表 3 可知,油松叶片与凋落物 的C、N含量及C:N呈显著正相关,C:N、C:P分别 与 N:P 呈显著正相关(p<0.05),因为叶片是凋落物的 直接来源,二者之间存在养分转移,这与以往研究[15]结 果相似。叶片和土壤的碳、氮、磷含量不相关,表明油松 叶片碳、氮、磷含量受土壤供给的碳、氮、磷含量影响不 大。这可能与该地区特殊的土壤环境以及油松人工 林受到的人为干扰强度不同有关,生长阶段、遗传特 性、群落组成和结构等直接或间接地影响着植物化学 元素含量[32]。植物在光合作用下通过叶片固定碳, 一部分转移给土壤,凋落物作为中间介质,逐步补偿 碳和养分给土壤[33]。除凋落物碳含量与土壤磷含量 呈显著正相关外(p < 0.05),它们之间其他元素及化 学计量比相关性不显著,说明二者关系不太紧密。这 是因为油松针叶含有较多的木质素和纤维素,通常较 难分解,导致油松林中返回到土壤的养分极少[34]。

4 结论

(1) 黄土丘陵区油松人工林植物器官—凋落物— 土壤化学计量特征具有不同的季节变化格局。油松叶片与土壤的 C,N,P 不相关,叶片 C,N,P 含量受土壤供给的 C,N,P 含量影响不大;叶片与凋落物的化学计量特征之间呈显著正相关(p<0.05),二者关系紧密;除凋落物 C 含量与土壤 P 含量呈显著正相关外(p<0.05),它们之间其他元素及化学计量比相关 性不显著,二者关系不太紧密。

(2)除油松叶片 4—6月,细根 4—8月N:P>14外,其他各器官、凋落物和土壤 4—10月N:P<14,该区域油松生长主要受N限制,可适当增施氮肥以促进其生长,同时也可引入豆科固氮植物,以提高地力。6月凋落物 C:P、N:P 较低,凋落物分解的主要时期是夏季。

(3)季节变化对油松各器官化学计量特征的影响,尤其对叶片 C、N、P 含量的影响大于凋落物和土壤,利用 C、N、P 化学计量学反映植物功能性状时应充分考虑时间因素。因此,在今后的研究中,应加强观测时间,探索油松人工林的生存和适应策略。

参考文献:

- [1] Elser J J, Hamilton A. Stoichiometry and the new biology: The future is now[J].PLoS Biology,2007,5(7):e181.
- [2] Han W X, Fang J Y, Guo D L, et al. Leaf nitrogen and phosphorus stoichiometry across 753 terrestrial plant species in China[J]. New Phytologist, 2005, 168(2):377-385.
- [3] Klausmeier C A, Litchman E, Daufresne T, et al. Optimal nitrogen-to-phosphorus stoichiometry of phytoplankton[J]. Nature, 2004, 429 (6988): 171-174.
- [4] Mcgroddy M E, Daufresne T, Hedin L O, Scaling of C: N: P stoichiometry in forests worldwide: Implications of terrestrial Redfield-type ratios [J]. Ecology, 2004, 85 (9): 2390-2401.
- [5] Sardans J, Peñuelas J. The role of plants in the effects of global change on nutrient availability and stoichiomet-

- ry in the Plant-Soil System[J]. Plant Physiology, 2012, 160(4):1741-1761.
- [6] Zhao Q Q, Bai J H, Liu Q, et al. Spatial and seasonal variations of soil carbon and nitrogen content and stock in a Tidal Salt Marsh with Tamarix chinensis, China [J].Wetlands, 2015, 36(S1): 145-152.
- [7] Ågren G I. Stoichiometry and nutrition of plant growth in natural communities [J]. Annual Review of Ecology, Evolution, and Systematics, 2008, 39(1):153-170.
- [8] 赵亚芳,徐福利,王渭玲,等.华北落叶松根茎叶碳氮磷含量及其化学计量学特征的季节变化[J].植物学报,2014,49(5):560-568.
- [9] 封焕英,杜满义,辛学兵,等.华北石质山地侧柏人工林 C、N、P 生态化学计量特征的季节变化[J].生态学报, 2019,39(5):1572-1582.
- [10] Liu F D, Liu Y H, Wang G M, et al. Seasonal variations of C: N: P stoichiometry and their trade-offs in different organs of Suaeda salsa in Coastal Wetland of Yellow River Delta, China[J].PLoS One, 2015, 10(9): e138169.
- [11] 霍晓英,彭守璋,任婧宇,等.陕西省油松林生产力动态及对未来气候变化的响应[J].应用生态学报,2018,29 (2):412-420.
- [12] 董从国,乔雨宁,曹扬,等.黄土高原不同植被带油松人工林生态化学计量特征及其影响因素[J].西北林学院学报,2020,35(3):1-8.
- [13] 姜沛沛,曹扬,陈云明,等.不同林龄油松(*Pinus tabulaeformis*)人工林植物、凋落物与土壤 C、N、P 化学计量特征[J].生态学报,2016,36(19):6188-6197.
- [14] 杨霞,陈丽华,郑学良.不同林龄油松人工林土壤碳、氮和磷生态化学计量特征[J].中国水土保持科学,2021,19(2):108-116.
- [15] 章广琦,张萍,陈云明,等.黄土丘陵区刺槐与油松人工 林生态系统生态化学计量特征[J].生态学报,2018,38 (4):1328-1336.
- [16] 鲍士旦.土壤农化分析[M].3版.北京:中国农业出版 社,2000.
- [17] 李征,韩琳,刘玉虹,等.滨海盐地碱蓬不同生长阶段叶片 C、N、P 化学计量特征[J].植物生态学报,2012,36 (10):1054-1061.
- [18] 牛得草,李茜,江世高,等.阿拉善荒漠区6种主要灌木植物叶片C:N:P化学计量比的季节变化[J].植物生态学报,2013,37(4):317-325.
- [19] Herbert D A, Williams M, Rastetter E B. A model analysis of N and P limitation on carbon accumulation in Amazonian secondary forest after alternate land-use abandonment [J]. Biogeochemistry, 2003, 65(1):121-150.
- [20] 衣宁,赵文倩,刘倩,等.油松新生叶与老叶光合功能的

- 比较「」了.林业科技,2014,39(6):10-14.
- [21] 刘万德,苏建荣,李帅锋,等.云南普洱季风常绿阔叶林 演替系列植物和土壤 C、N、P 化学计量特征[J].生态学 报,2010,30(23);6581-6590.
- [22] Wardle D A, Walker L R, Bardgett R D. Ecosystem properties and forest decline in contrasting long-term chrono sequences[J]. Science, 2004, 305(5683):509-513.
- [23] 刘兴诏,周国逸,张德强,等.南亚热带森林不同演替阶段植物与土壤中 N、P 的化学计量特征[J].植物生态学报,2010,34(1):64-71.
- [24] 张文彦,樊江文,钟华平,等.中国典型草原优势植物功能群氮磷化学计量学特征研究[J].草地学报,2010,18 (4):503-509.
- [25] 杨阔,黄建辉,董丹,等.青藏高原草地植物群落冠层叶片氮磷化学计量学分析[J].植物生态学报,2010,34 (1):17-22.
- [26] 吴旭,牛耀彬,陈云明,董从国,乔雨宁.黄土丘陵区沙棘混交林叶片、凋落物、土壤碳氮磷化学计量特征[J].水土保持学报,2021,35(4):369-376.
- [27] 白小芳,徐福利,王渭玲,等.华北落叶松人工林土壤碳 氮磷生态化学计量特征[J].中国水土保持科学,2015, 13(6):68-75.
- [28] Deng J, Wang S, Ren C, et al. Nitrogen and phosphorus resorption in relation to nutrition limitation along the chronosequence of Black Locust (*Robinia pseudoacacia* L.) plantation[J].Forests, 2019, 10(3):e261.
- [29] 任书杰,于贵瑞,陶波,等.中国东部南北样带 654 种植物叶片氮和磷的化学计量学特征研究[J].环境科学,2007,28(12):2665-2673,
- [30] 汪宗飞,郑粉莉.黄土高原子午岭地区人工油松林碳氮 磷生态化学计量特征[J].生态学报,2018,38(19):6870-6880.
- [31] Tian H Q, Chen G S, Zhang C, et al. Pattern and variation of C: N: P ratios in China's soils: A synthesis of observational data[J]. Biogeochemistry, 2010, 98(1/3):139-151.
- [32] 朱潮,武利玉,张崇庆,等.兰州市北山典型侧柏人工林 分叶片与土壤生态化学计量特征[J].水土保持学报, 2021,35(4):361-368.
- [33] 王维奇,徐玲琳,曾从盛,等.河口湿地植物活体一枯落物-土壤的碳氮磷生态化学计量特征[J].生态学报,2011,31(23):134-139.
- [34] Wang K, Wang G G, Song L N, et al. Linkages between nutrient resorption and ecological stoichiometry and homeostasis along a chronosequence of Mongolian pine plantations[J/OL].Frontiers in Plant Science, 2021;1605. https://doi.org/10.3389/fpls.2021.692683.